

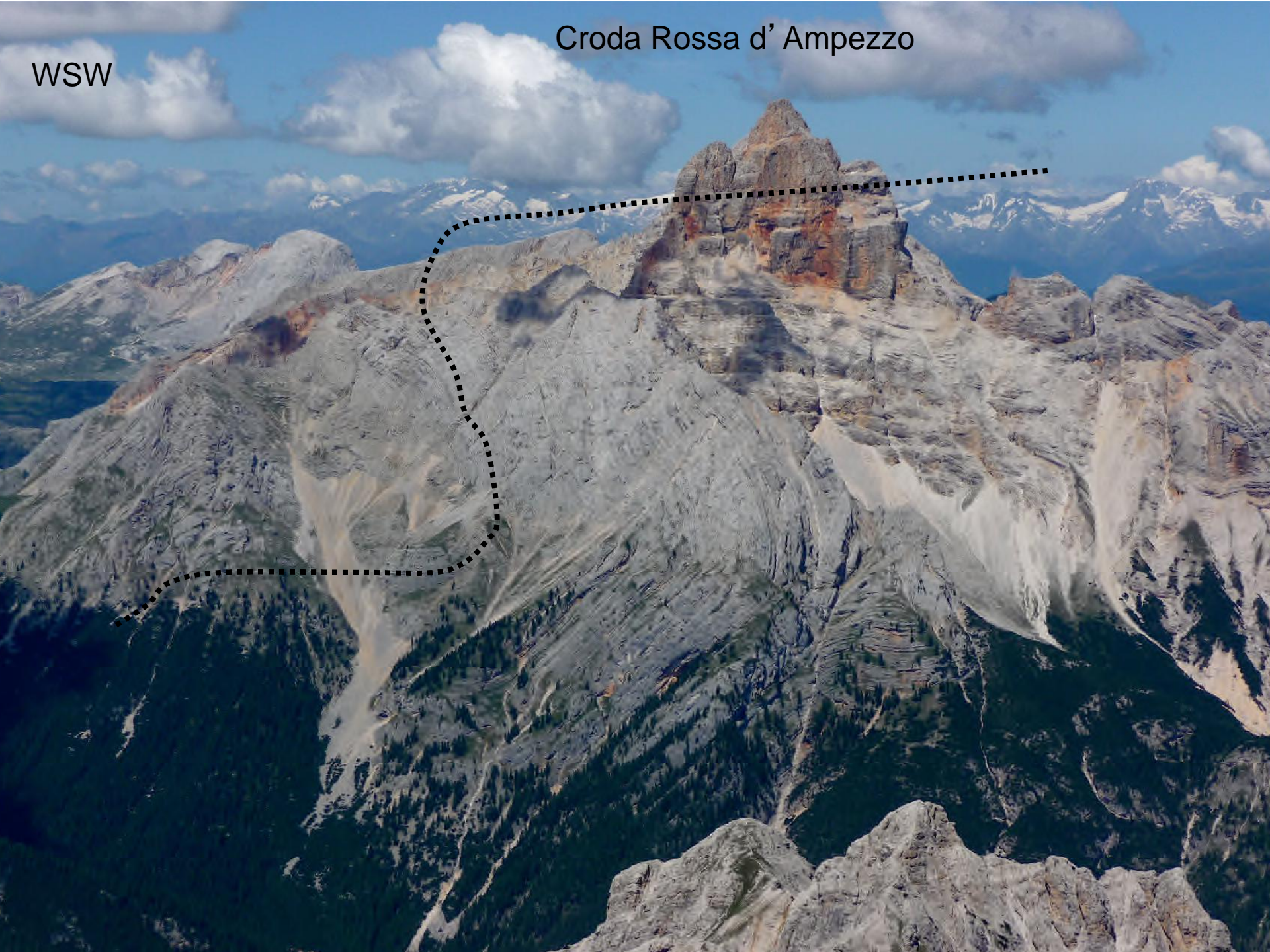
1 - Geometria

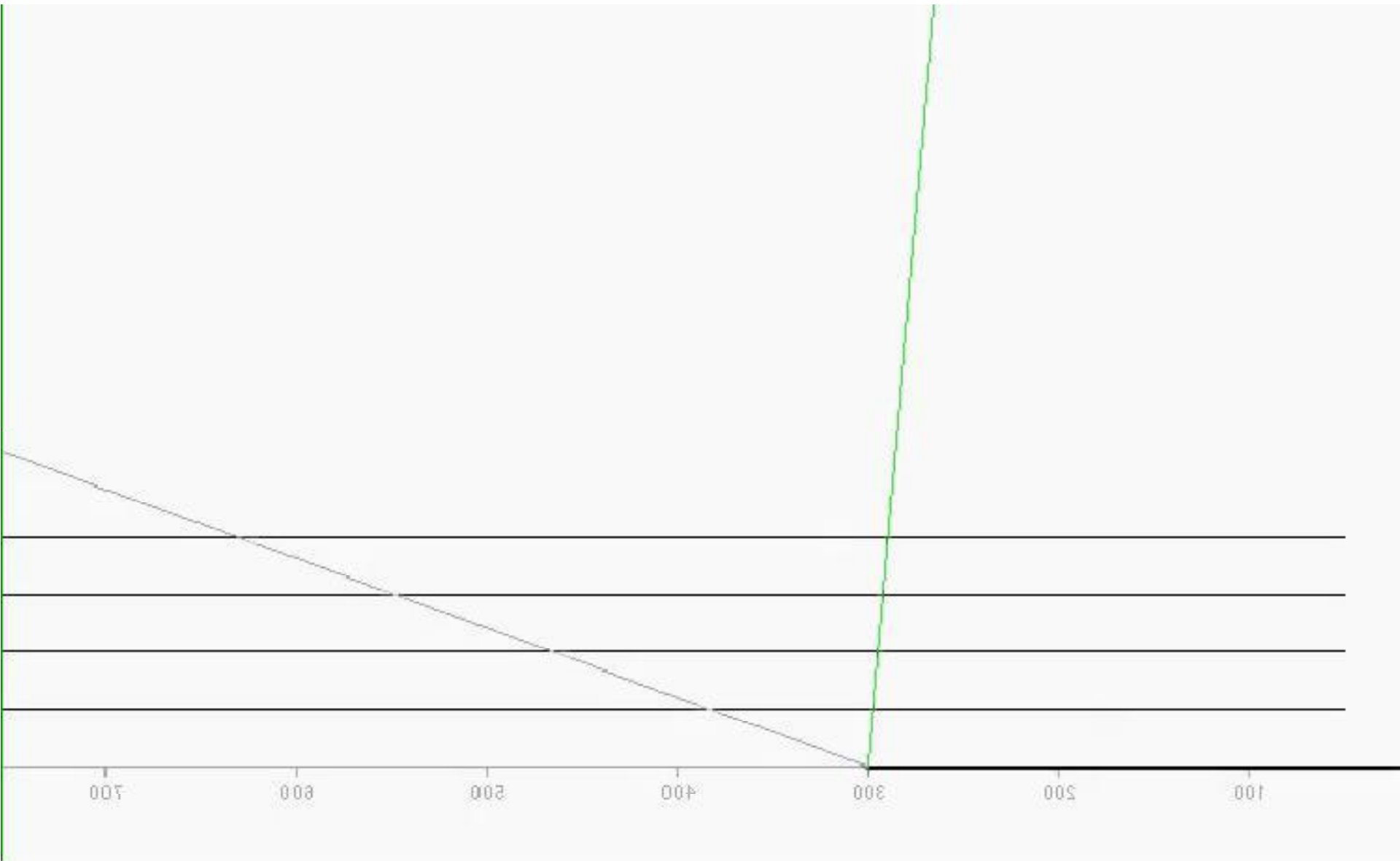
2 - Cinematica

3 - Dinamica

Croda Rossa d' Ampezzo

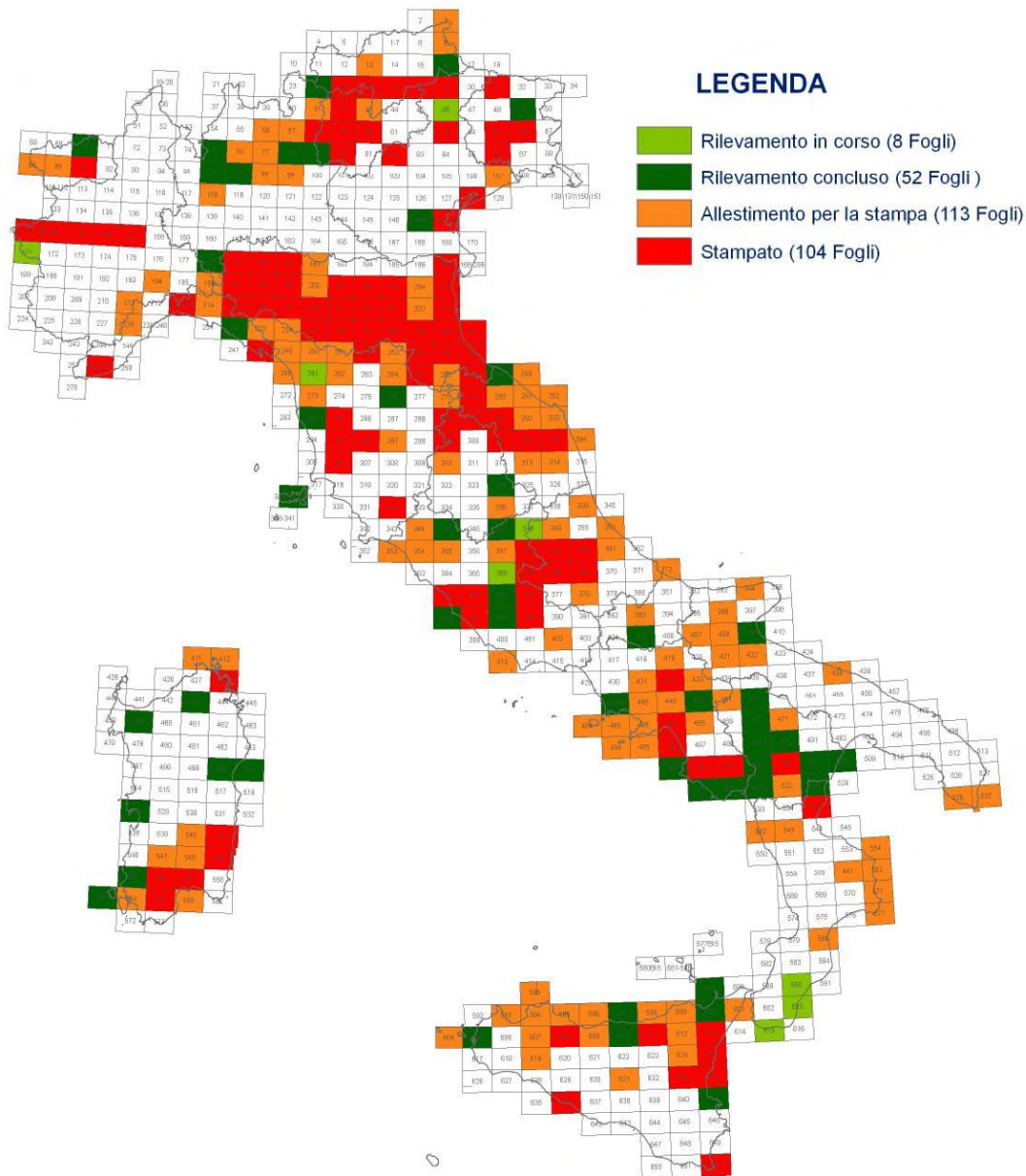
WSW





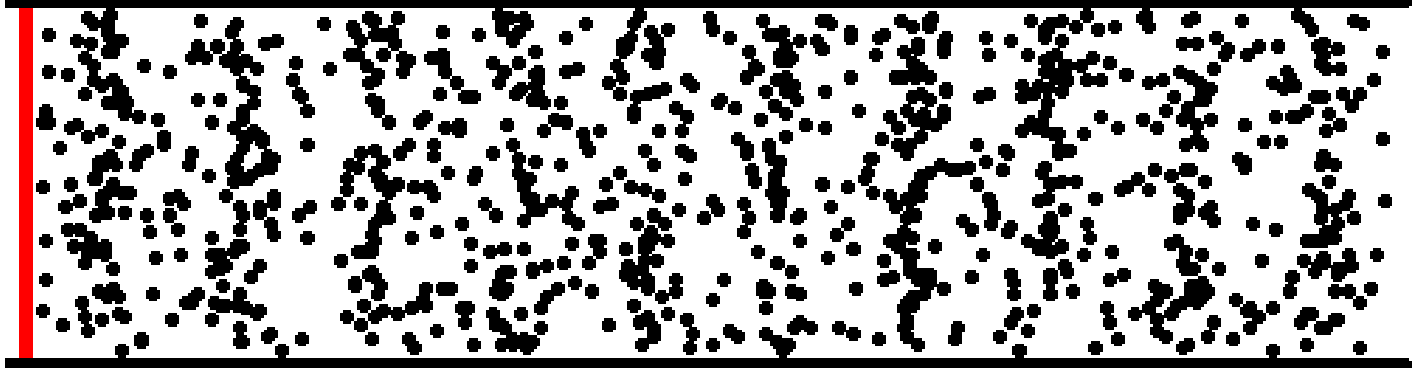
CARTA GEOLOGICA D'ITALIA 1:50.000

Stato di realizzazione complessivo della cartografia geologica (Fogli geologici CARG + SGI)

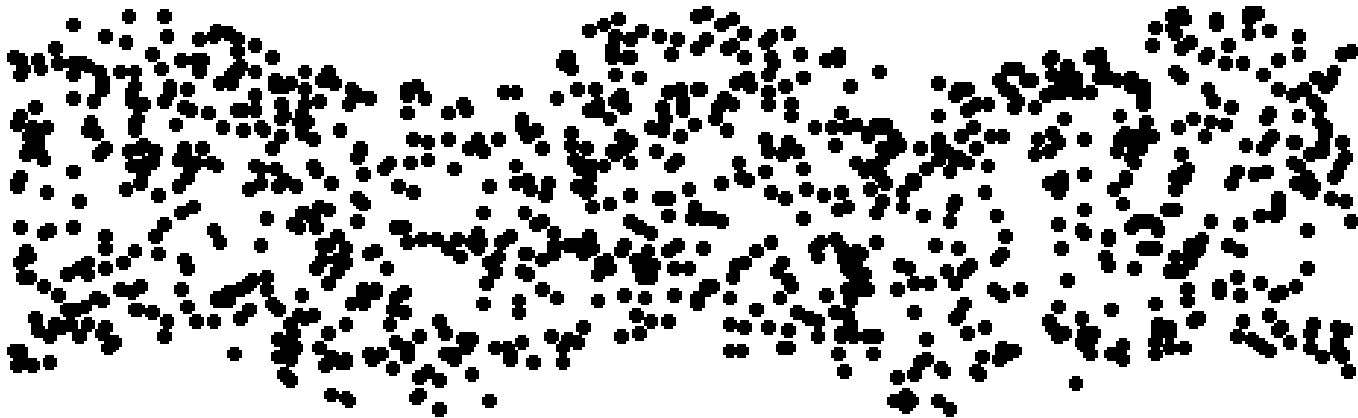


ONDE DI CORPO

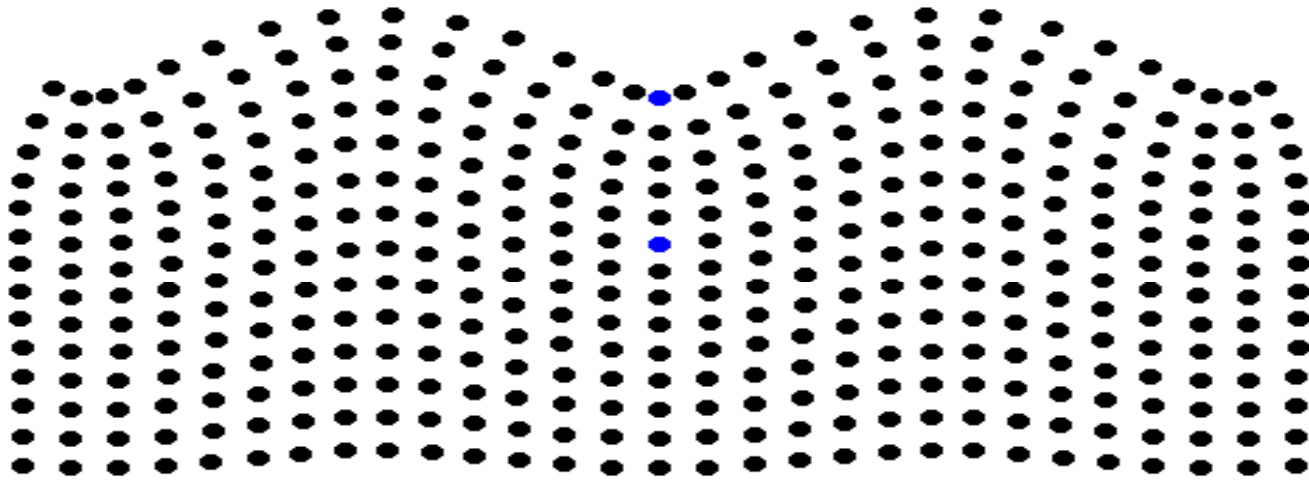
Onde P: (prime)



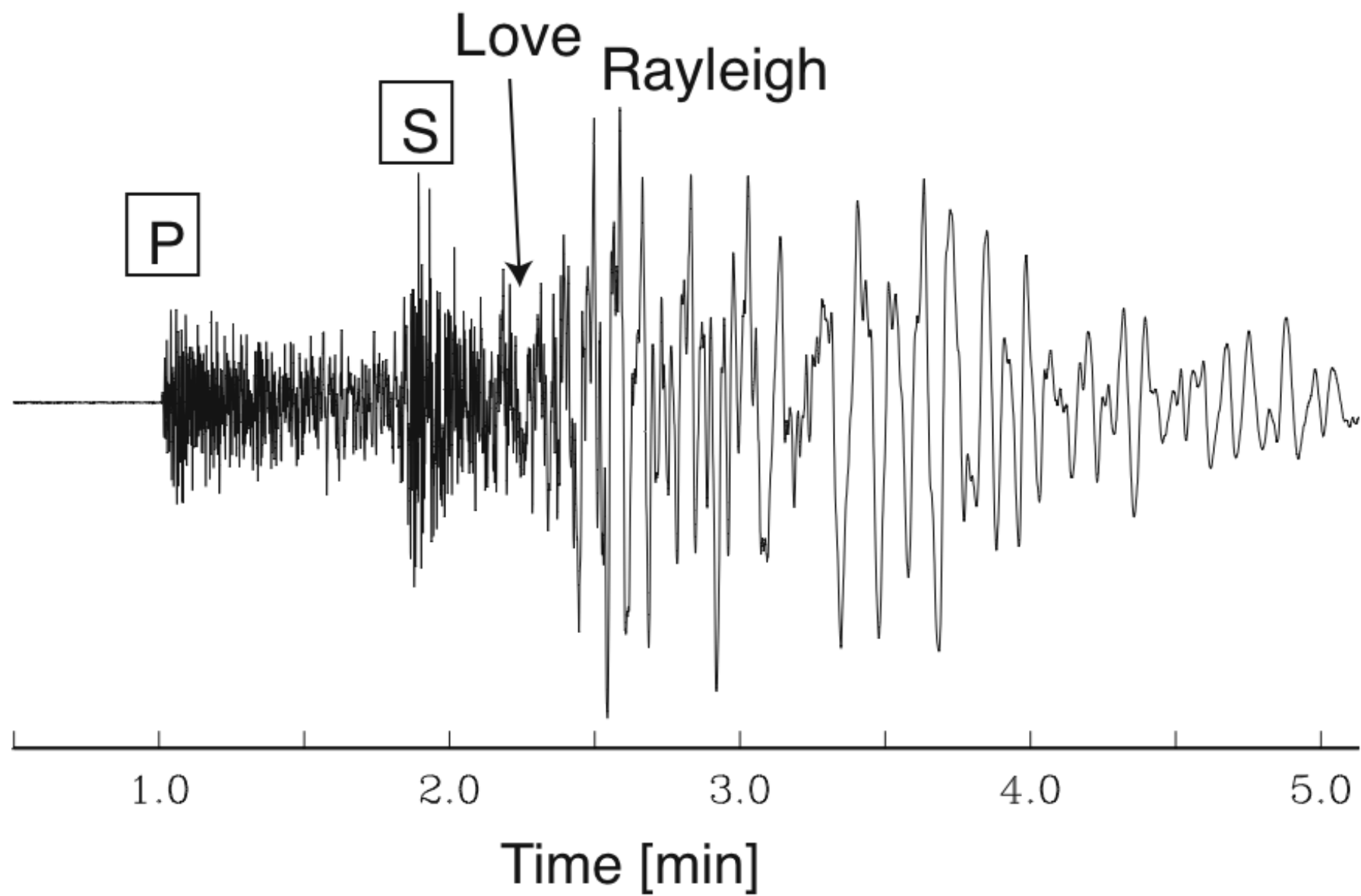
Onde S: (seconde)



ONDE DI SUPERFICIE



©1999, Daniel A. Russell







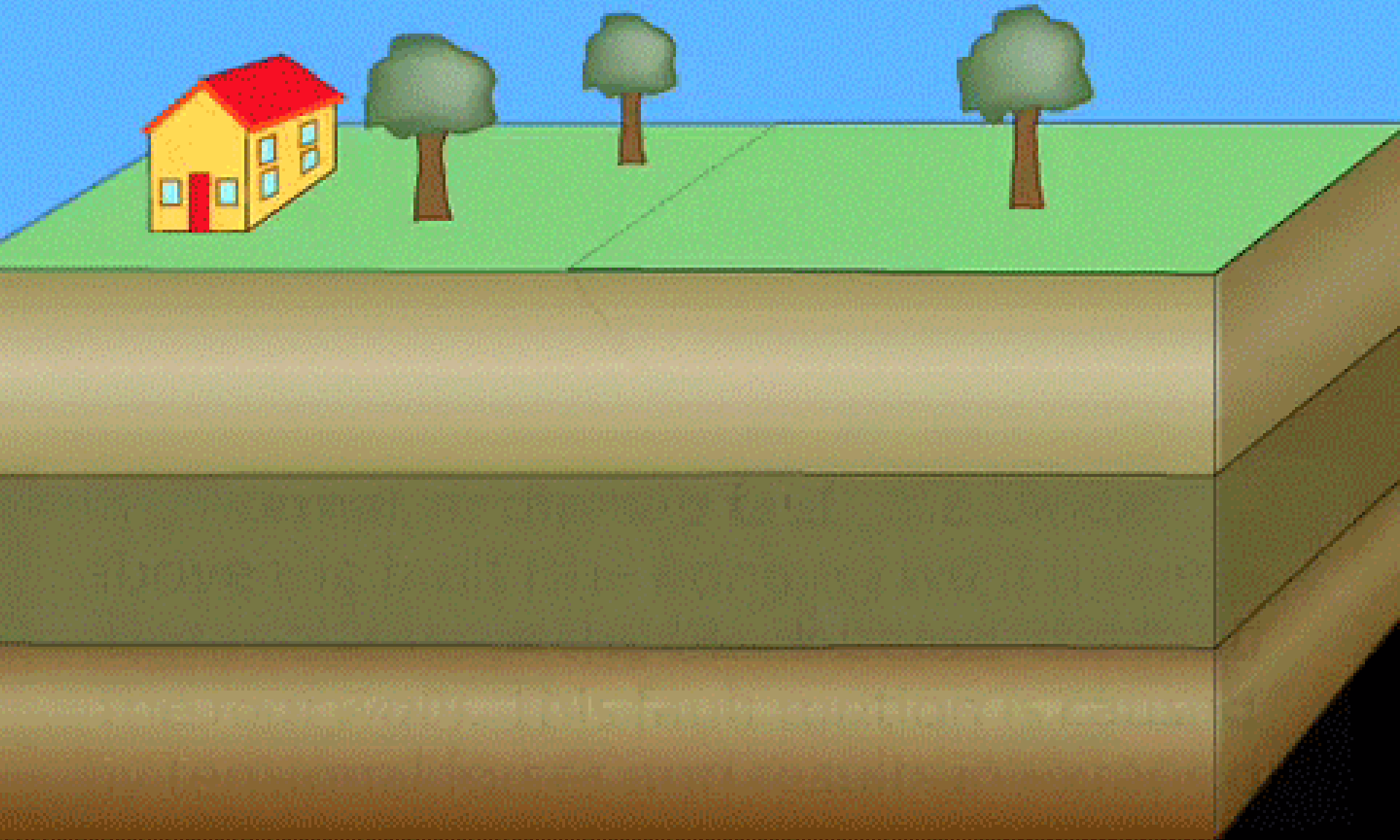
Japan tsunami 11th March 2011

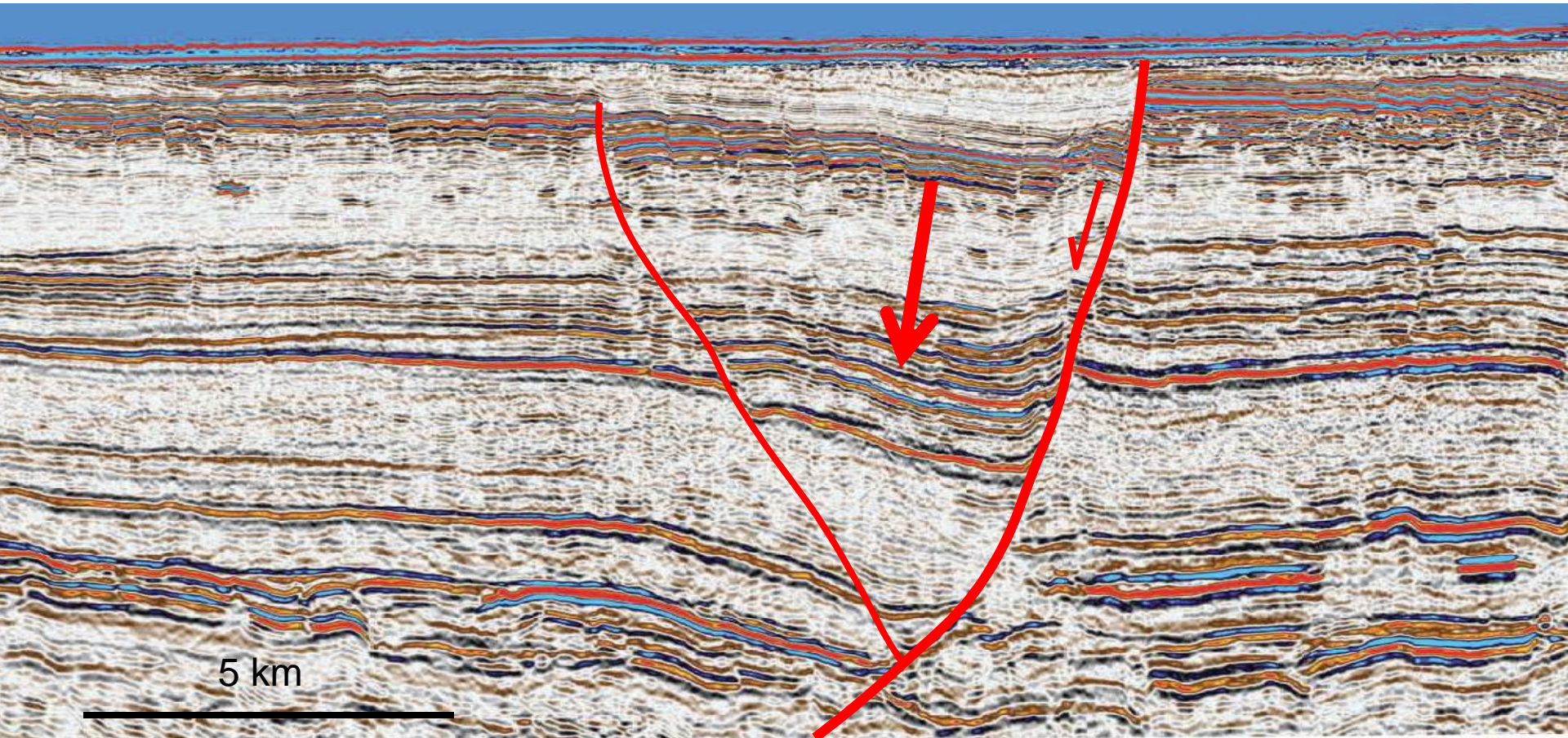


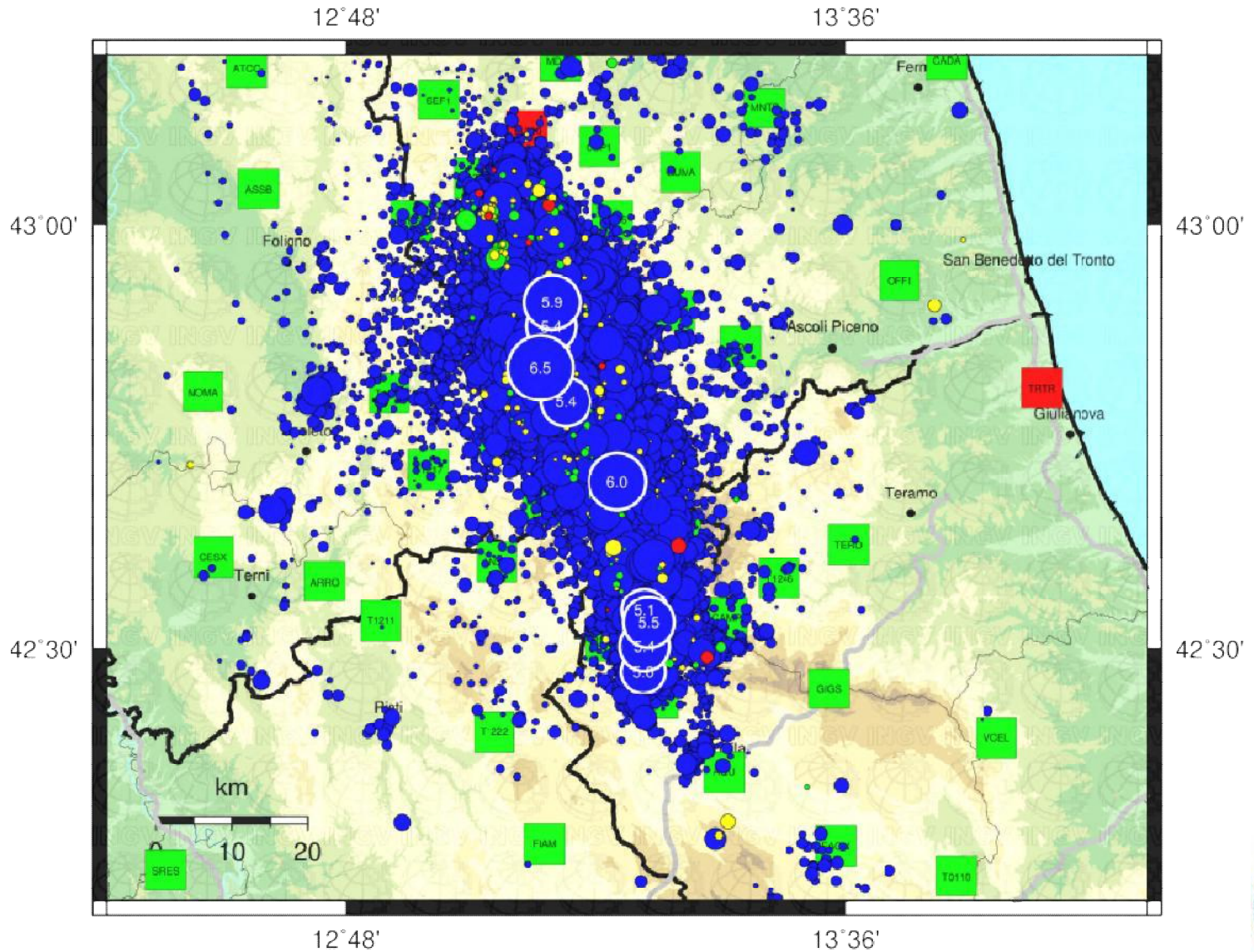
© AP

M 7 – 2016 Kumamoto Earthquake Japan

Normal Fault

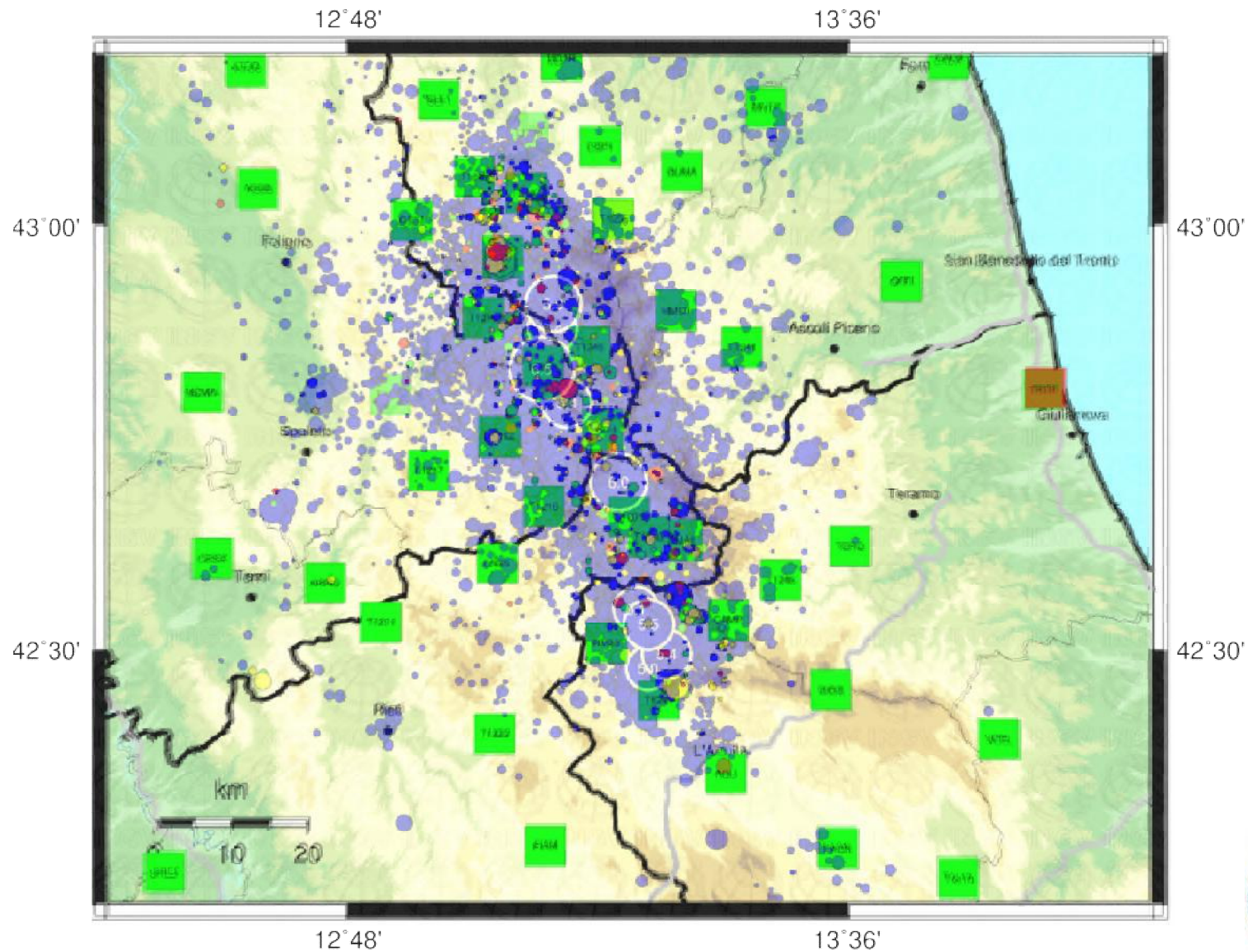






76.000 eventi dal 24/8/2016



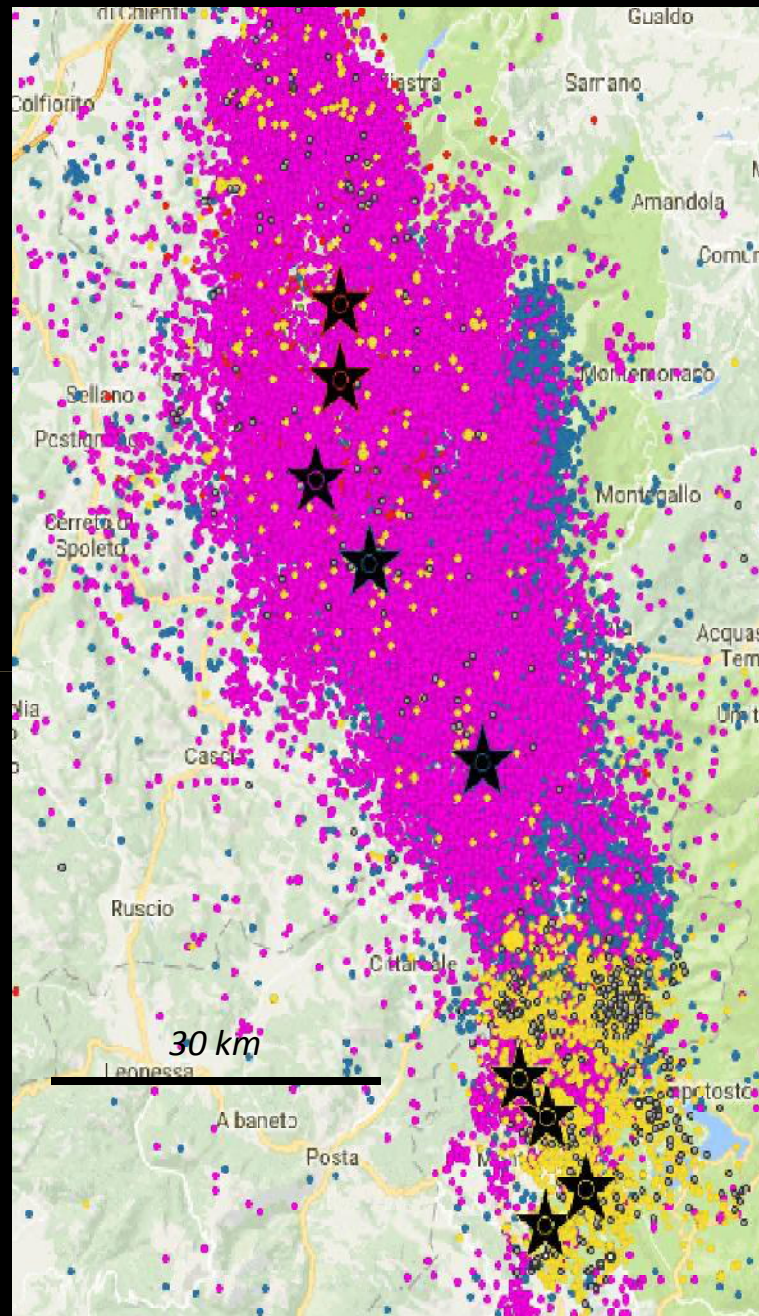


Amatrice
24-08-16 Mw6+Mw5.4

Visso-Ussita
26-10-16 Mw5.9+Mw5.4

Norcia
30-10-16 Mw6.5

Monte Reale
18-01-17 Mw5.5



NVOVA, E VERA
RELATIONE
Del Terribile, e Spauentoso
TERREMOTO

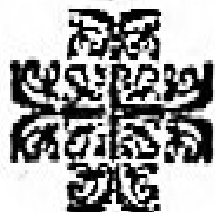
SUCCESSO

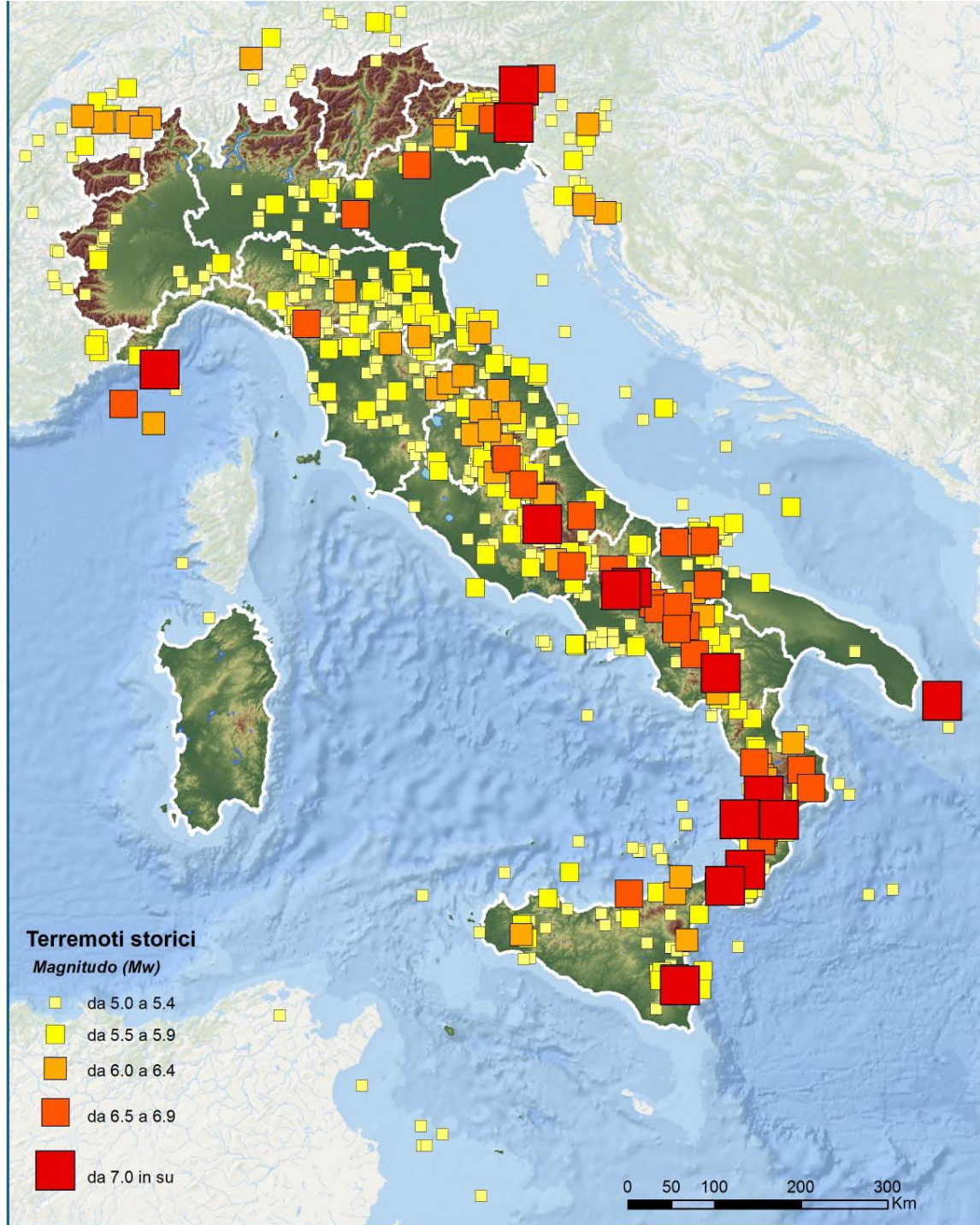
NELLA CITTA DELLA MATRICE,
E SVOSTATO,

Con patimento ancora di Accumulo, e Luoghi cir-
conuincuti, sotto il 7. del presente Giorno
di Ottobre 1639.

*Con la Morte compassionevole di molte persone, la perdita
di Bestiami d'ogni sorte. e con tutto il danno seguito
fino al corrente giorno.*

Con ogni diligenza, e certezza descritta da Carlo
Tiberij Romano, per memoria d'un Caso così
miserando, e lagrimeuole.





Dal 1904 al 1920 Terremoti di M>5.5

17 anni – 15 terremoti

1904-24 febbraio Marsica M 5.7

1905-8 settembre Calabria M 6.9

1908-28 dicembre Messina M 7.1

1909-1 luglio Messina M 5.5

1910-7 giugno Irpinia-Basilicata M 5.8

1913-28 giugno Calabria settentrionale M 5.6

1914-27 ottobre Lucchesia M 5.6

1915-13 gennaio Marsica M 7.1

1916-17 maggio Rimini M 5.8

1916-16 novembre Alto Reatino M 5.5

1917-26 aprile Monterchi M 6

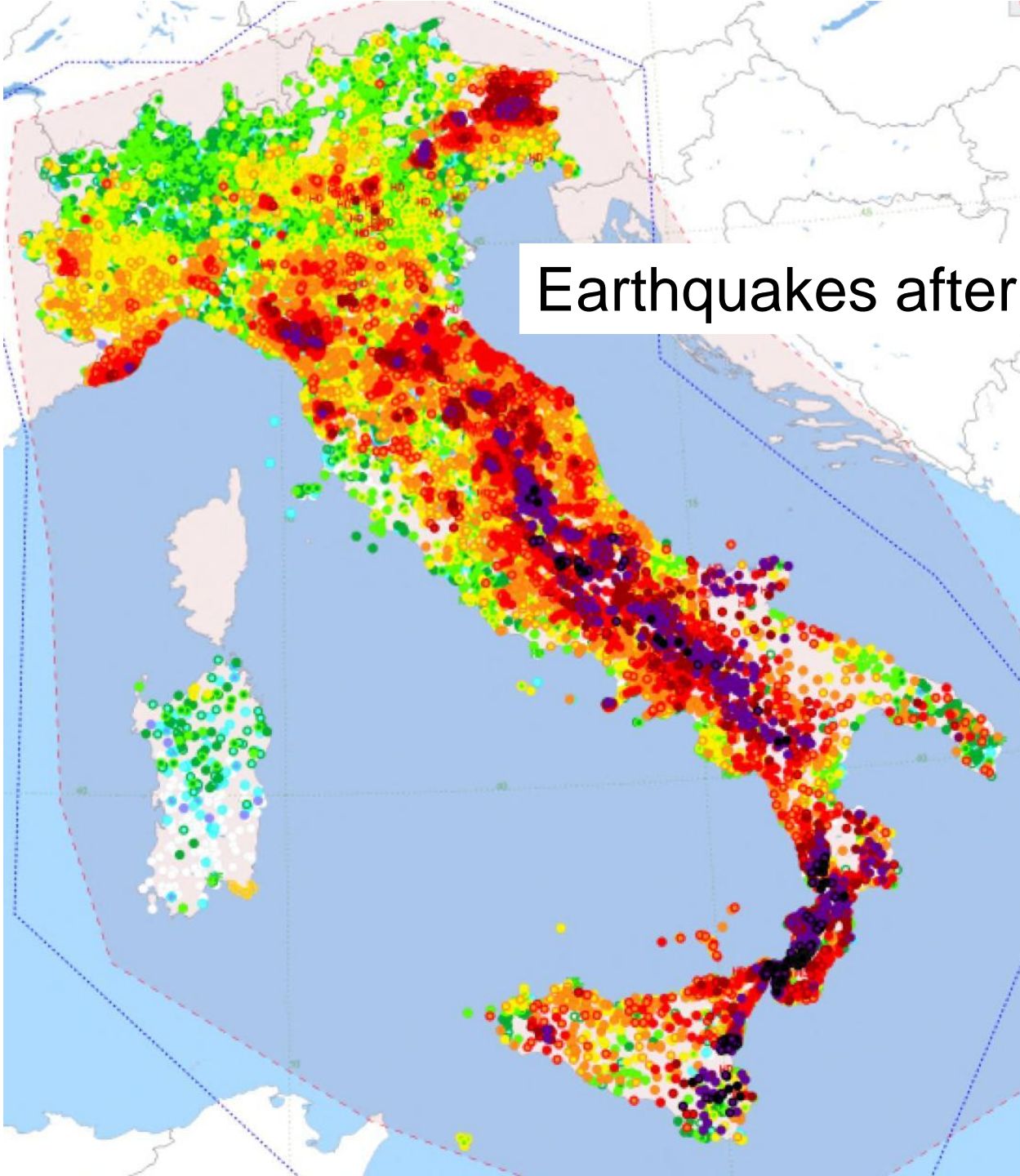
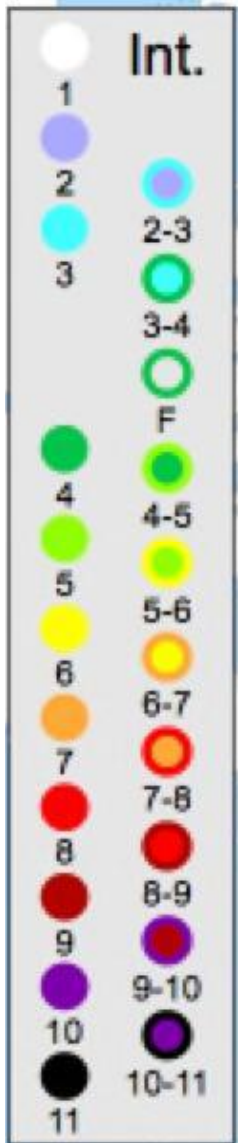
1918-10 novembre Appennino Forlivese M 5.9

1919-29 giugno Mugello M 6.4

1920-6 settembre Garfagnana M 5.6

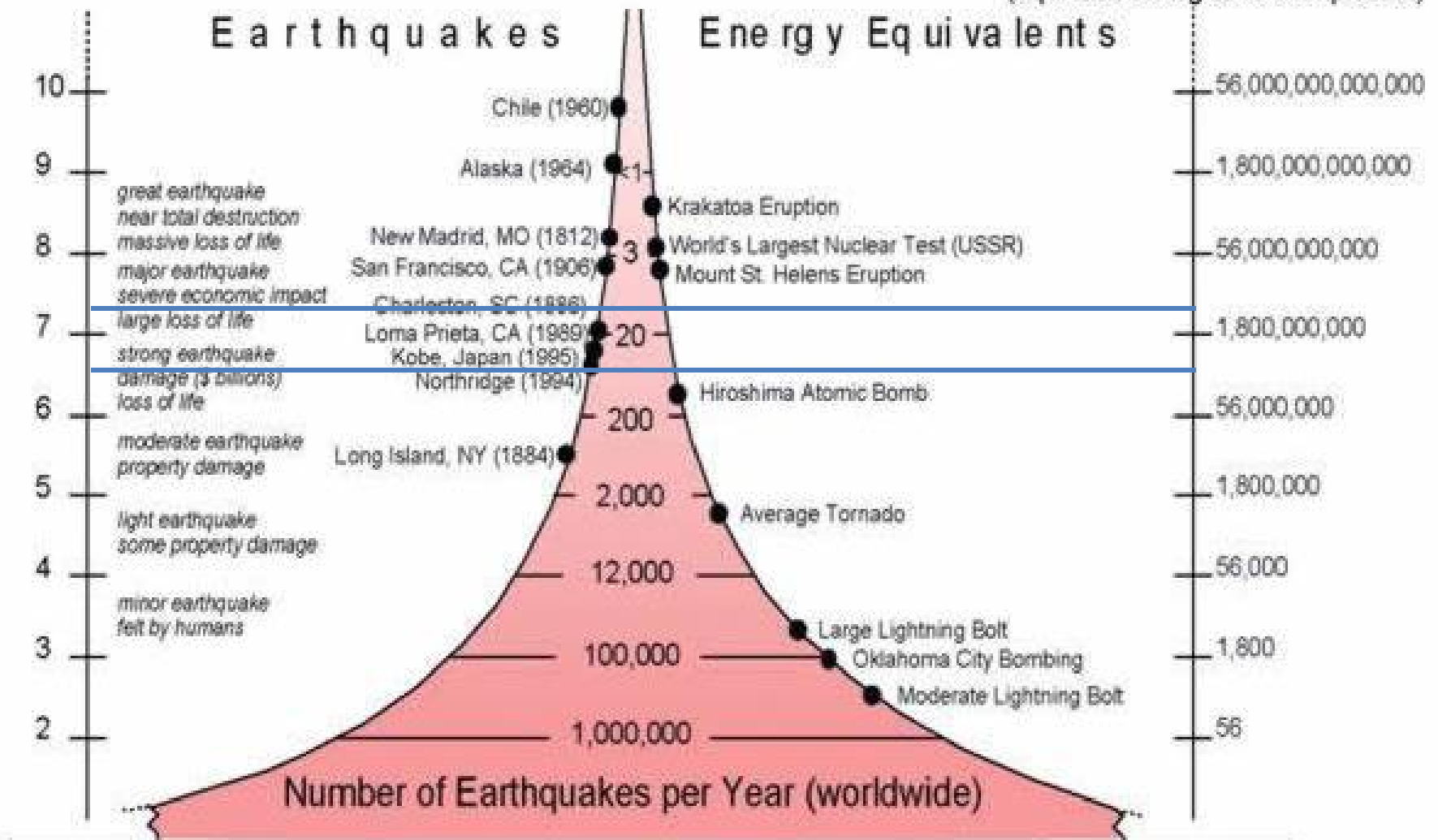
1920-7 settembre Garfagnana M 6.5

Earthquakes after 1000 AD



Magnitude

Energy Release
(equivalent kilograms of explosive)



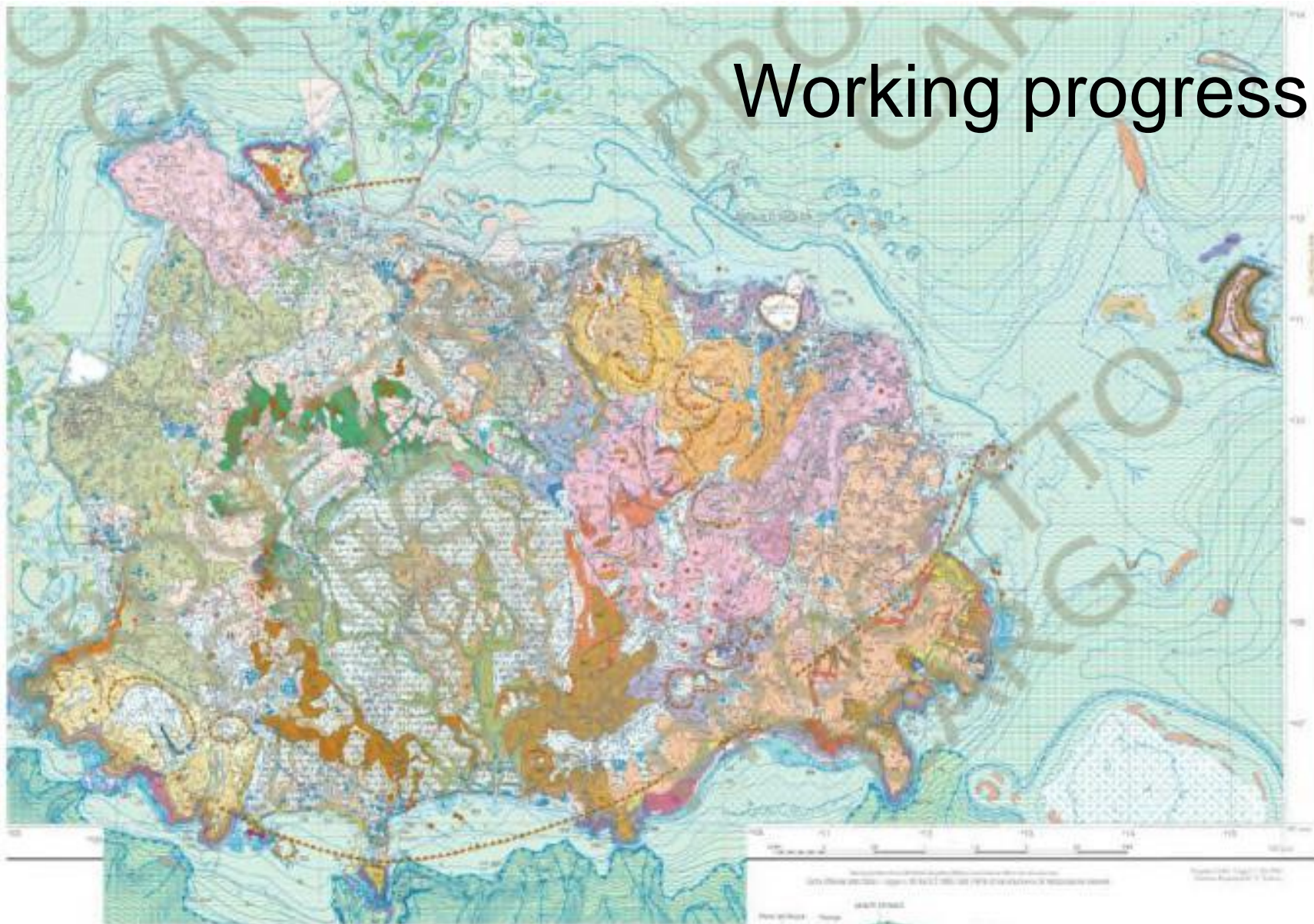
Working progress

Carta delle Faglie Attive e Capaci
d'Italia e relativa interpretazione in
chiave sismogenica

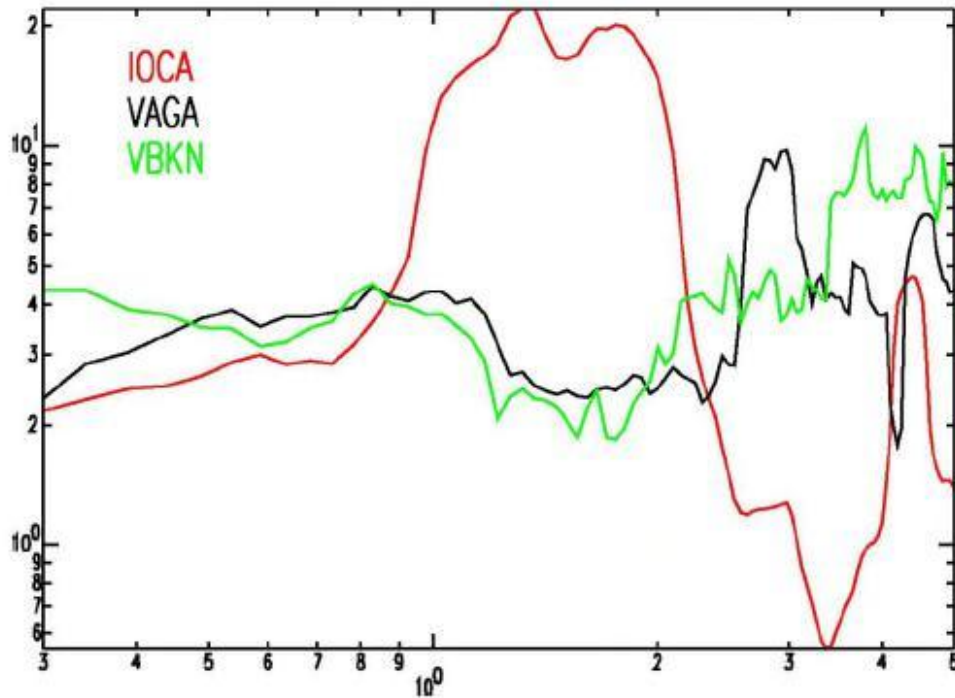
Carta delle frane

Carte tematiche

Working progress

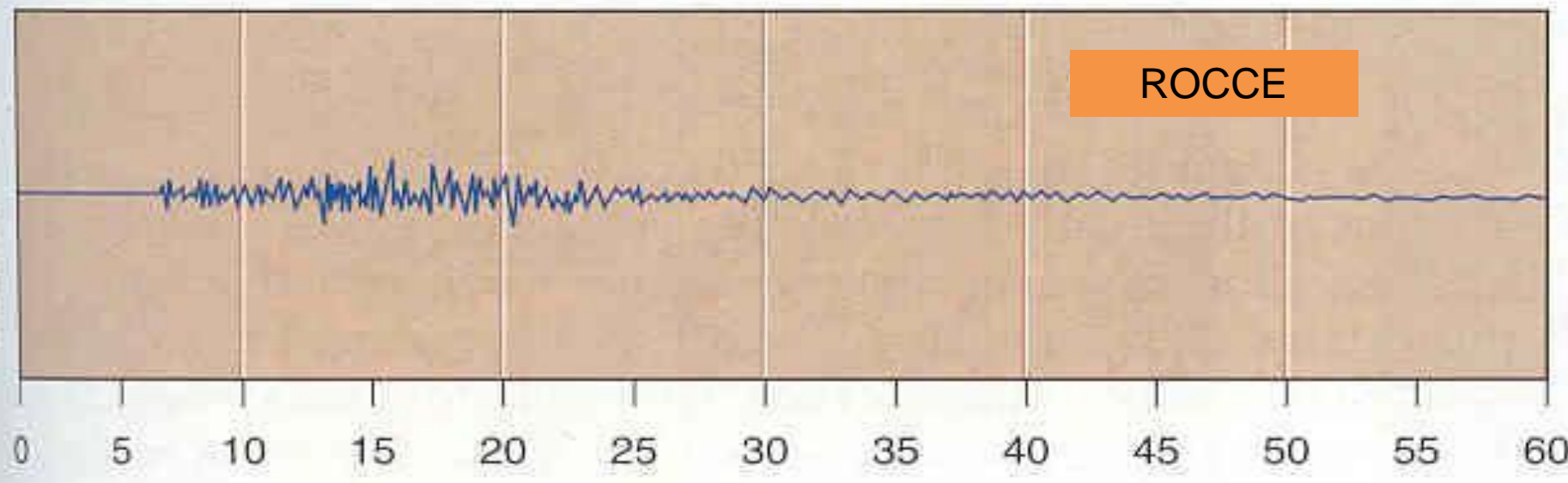


Rapporto spettrale H/V:

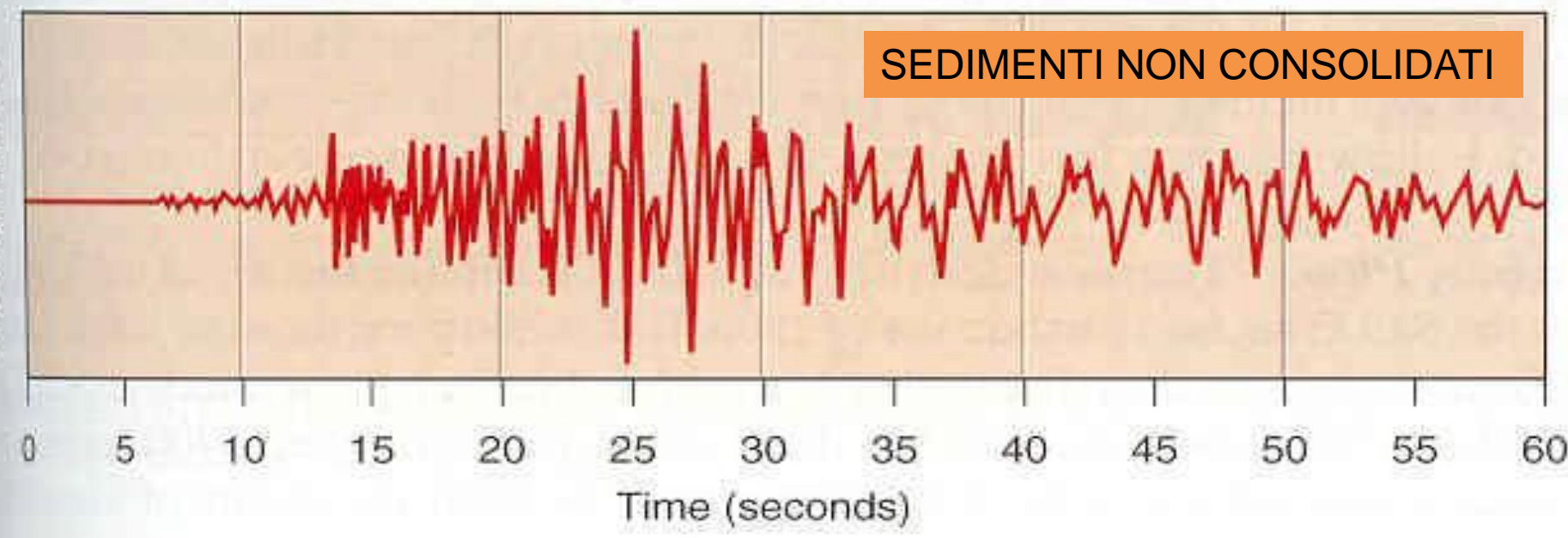


Solo IOCA ha un picco a 2 Hz legato all'amplificazione dovuta ad un effetto di sito mentre le altre 2 Staz tra (1-2.5) Hz non mostrano alcun picco. Da notare che le componenti orizzontali (H) a VAGA e VBKN risultano amplificate rispetto alla componente verticale (Z) su tutta la banda.

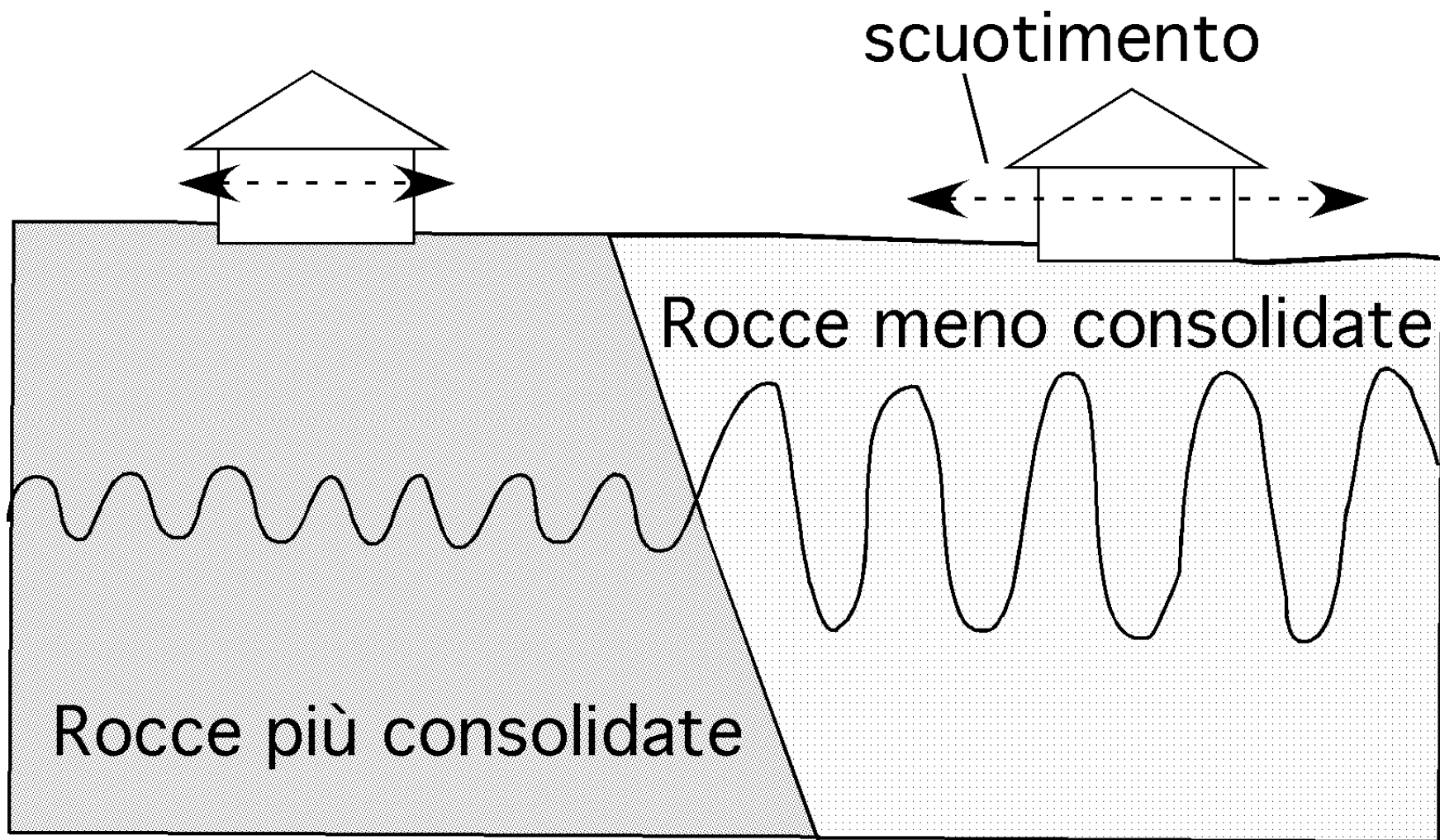
Shaking amplitude

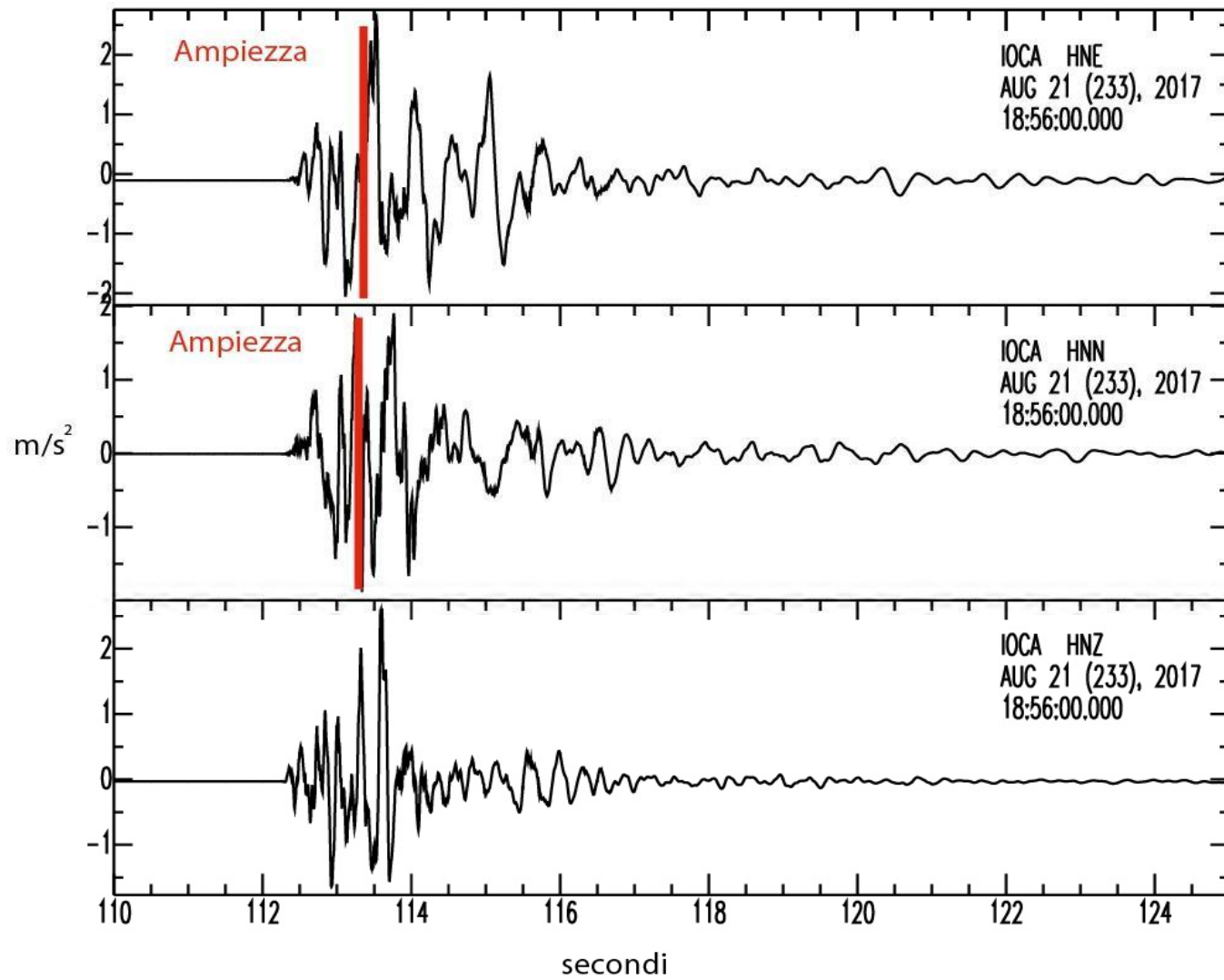


Shaking amplitude



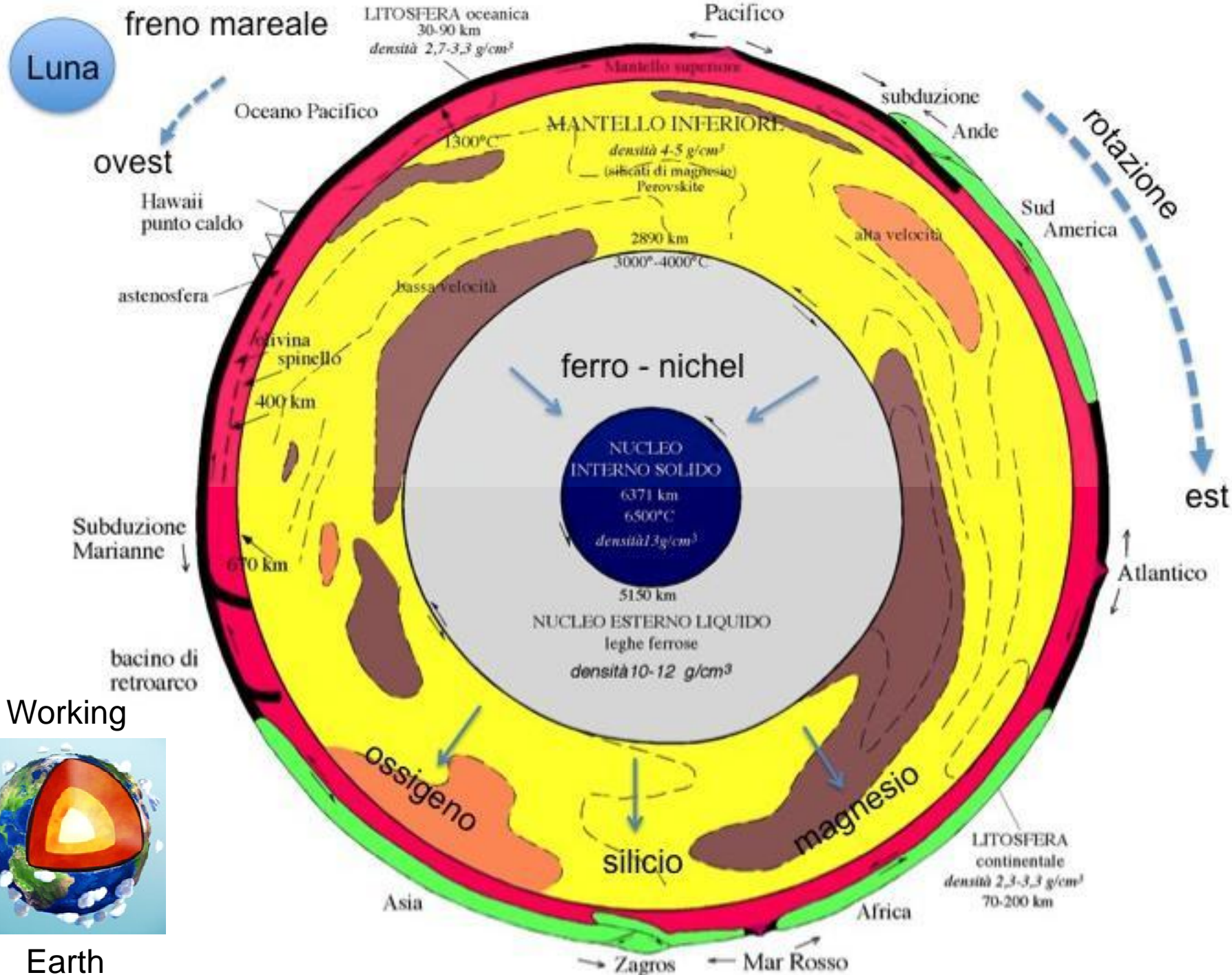
Time (seconds)

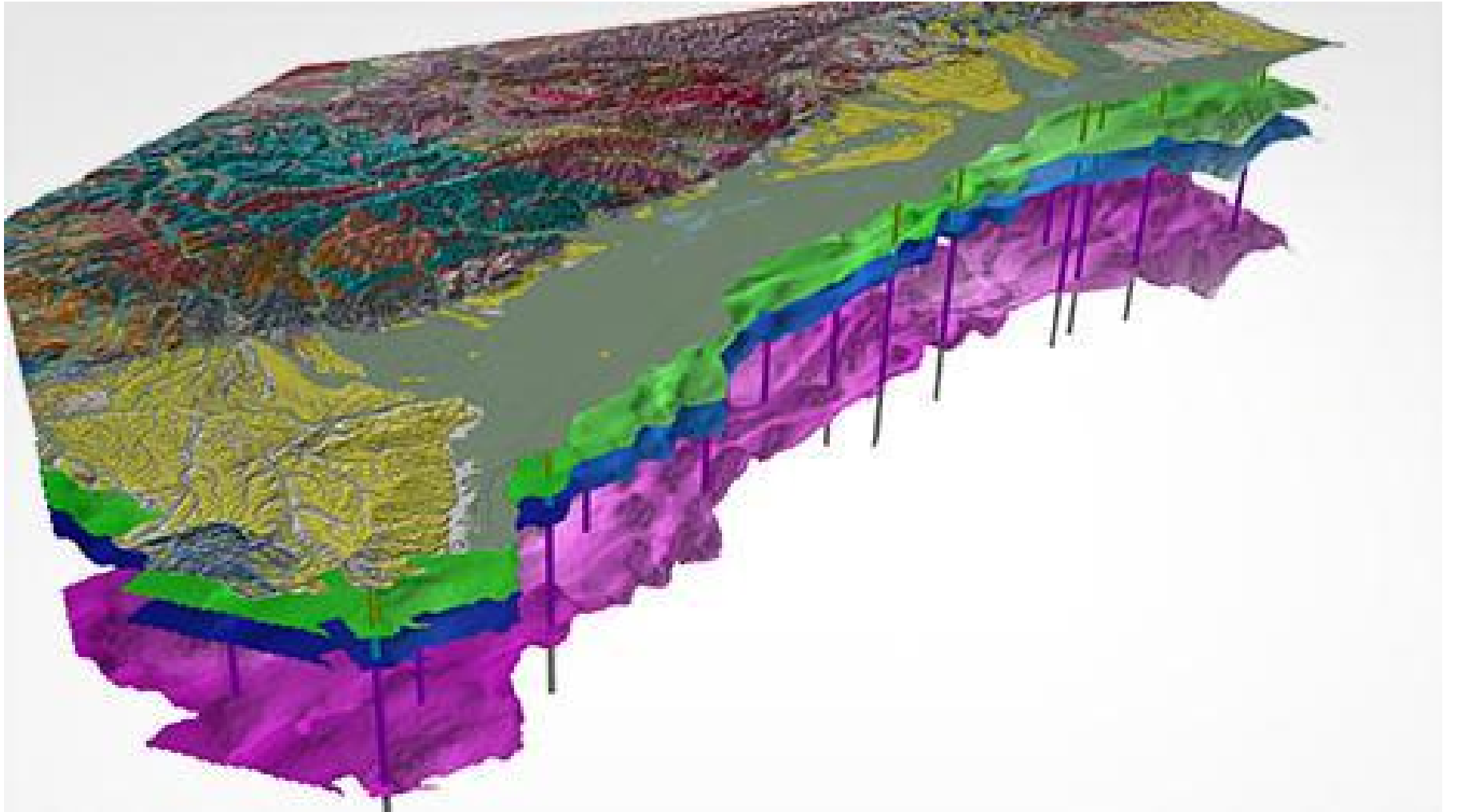


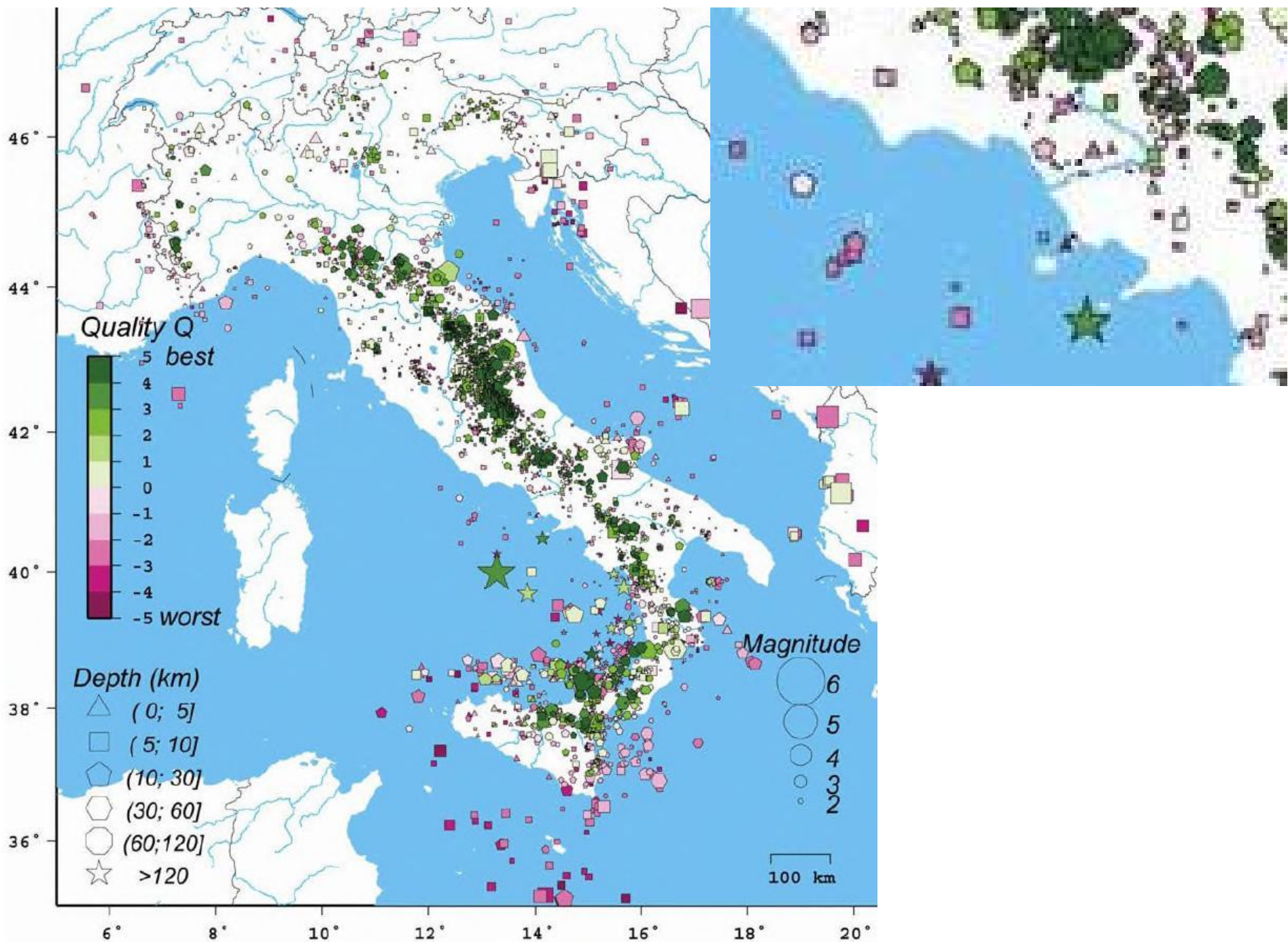


Orientation	Units	PGA	PGV	PGD
East-West	cm/s ²	275.137	17.801	-2.322
North-South	cm/s ²	188.139	-11.464	1.715
Up-Down	cm/s ²	270.818	-11.809	1.449









Qualità Q1	RMS pesato	Errore orizzontale	Errore verticale	Numero pesato di fasi (WNP)
A	< 0.45 s	< 2 km	< 4 km	≥ 3
B	< 0.90 s	< 5 km	< 10 km	≥ 3
C	< 1.50 s	< 10 km	< 10 km	≥ 3
D	≥ 1.50 s	≥ 10 km	≥ 10 km	< 3

1.32 s Casamicciola

MI = 3.6 +/- 0.22

129 canali circa 60 stazioni

Qualità AB per M

rms 0.37

